

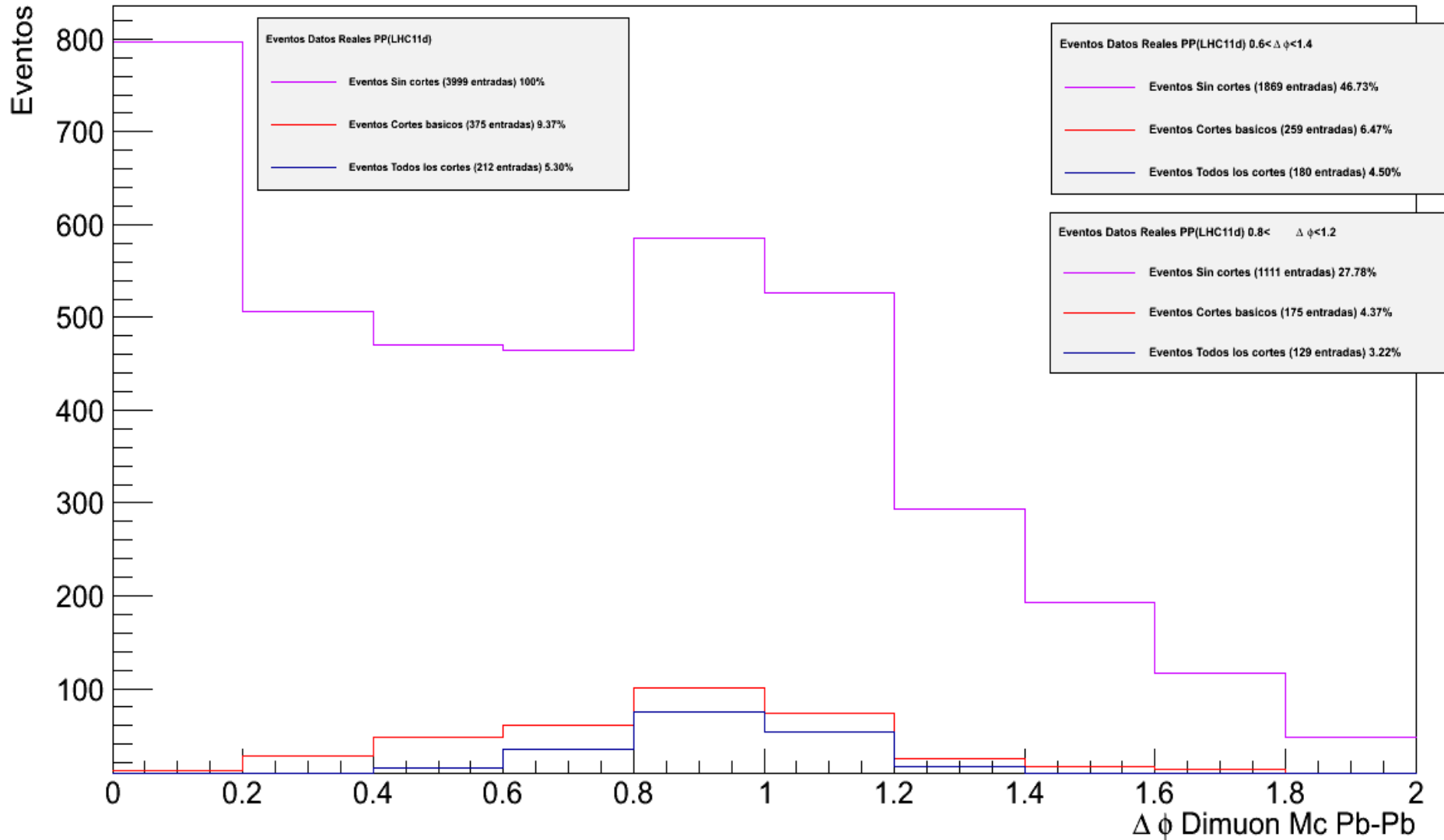
Pt Cuadrado Sin normalización

Gibraham I. Nápoles

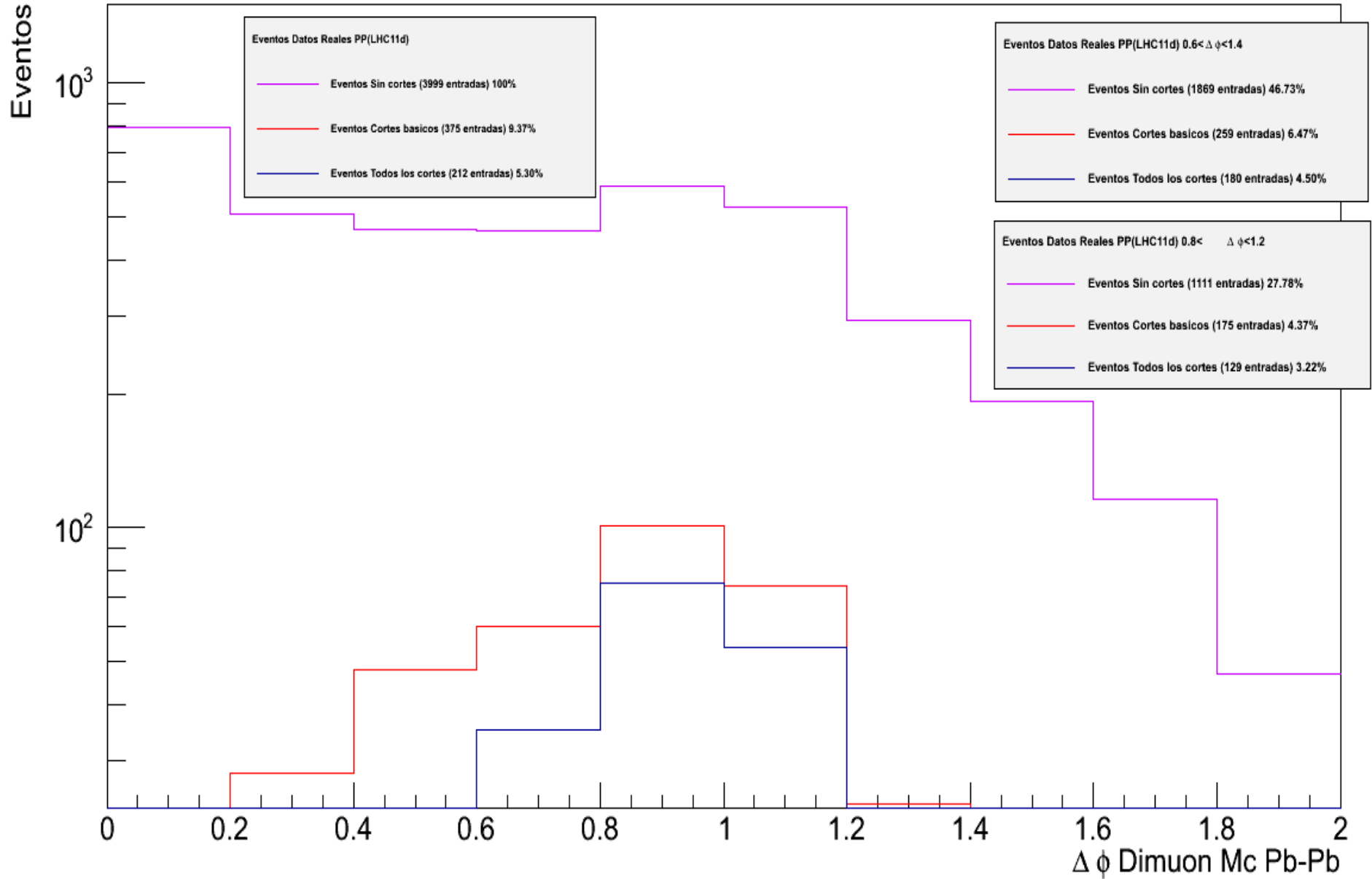
24/04/2013

Delta Phi Real Data

$\Delta \phi$ Dimuon Data y Mc PP

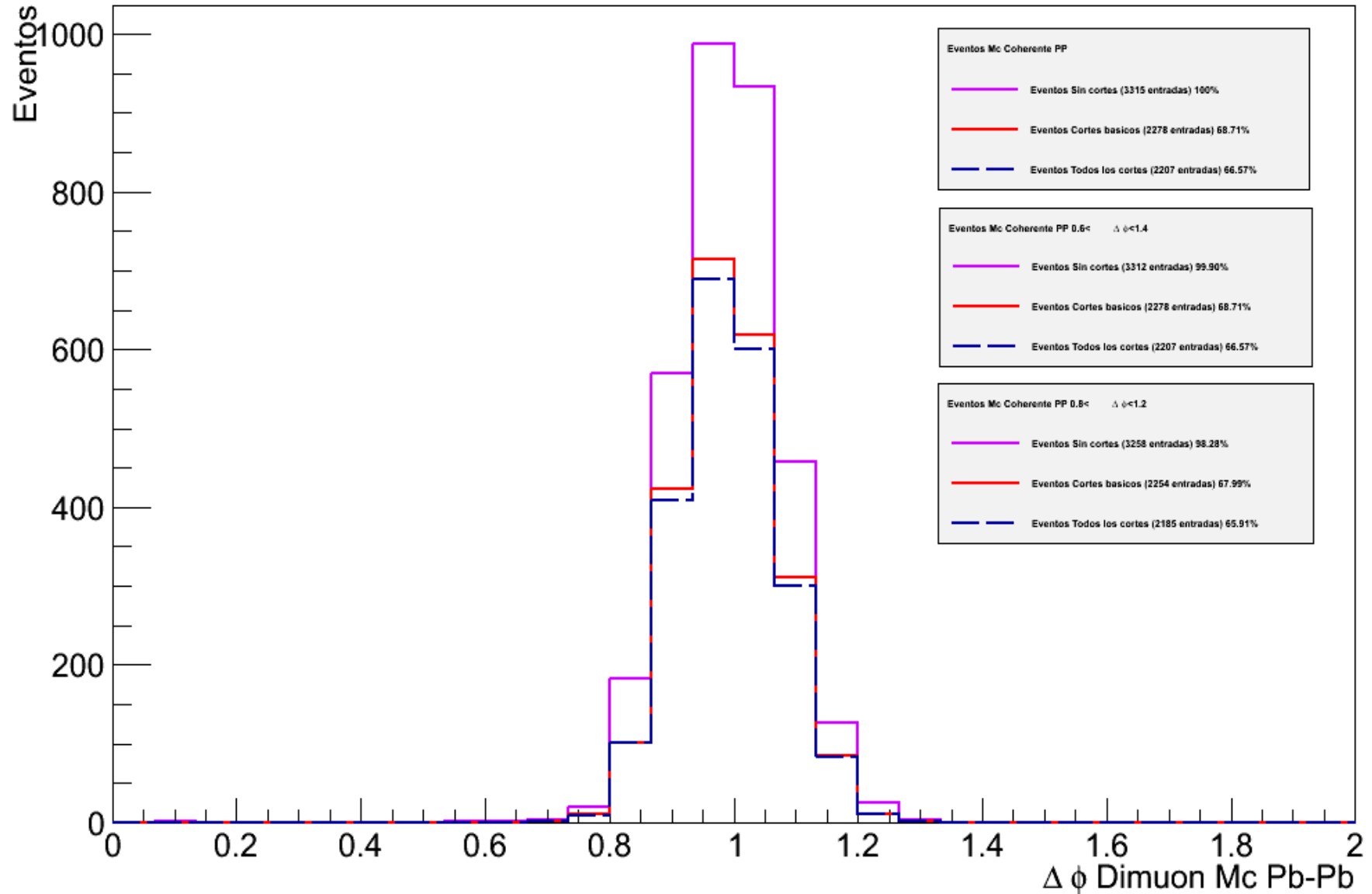


$\Delta \phi$ Dimuon Data y Mc PP

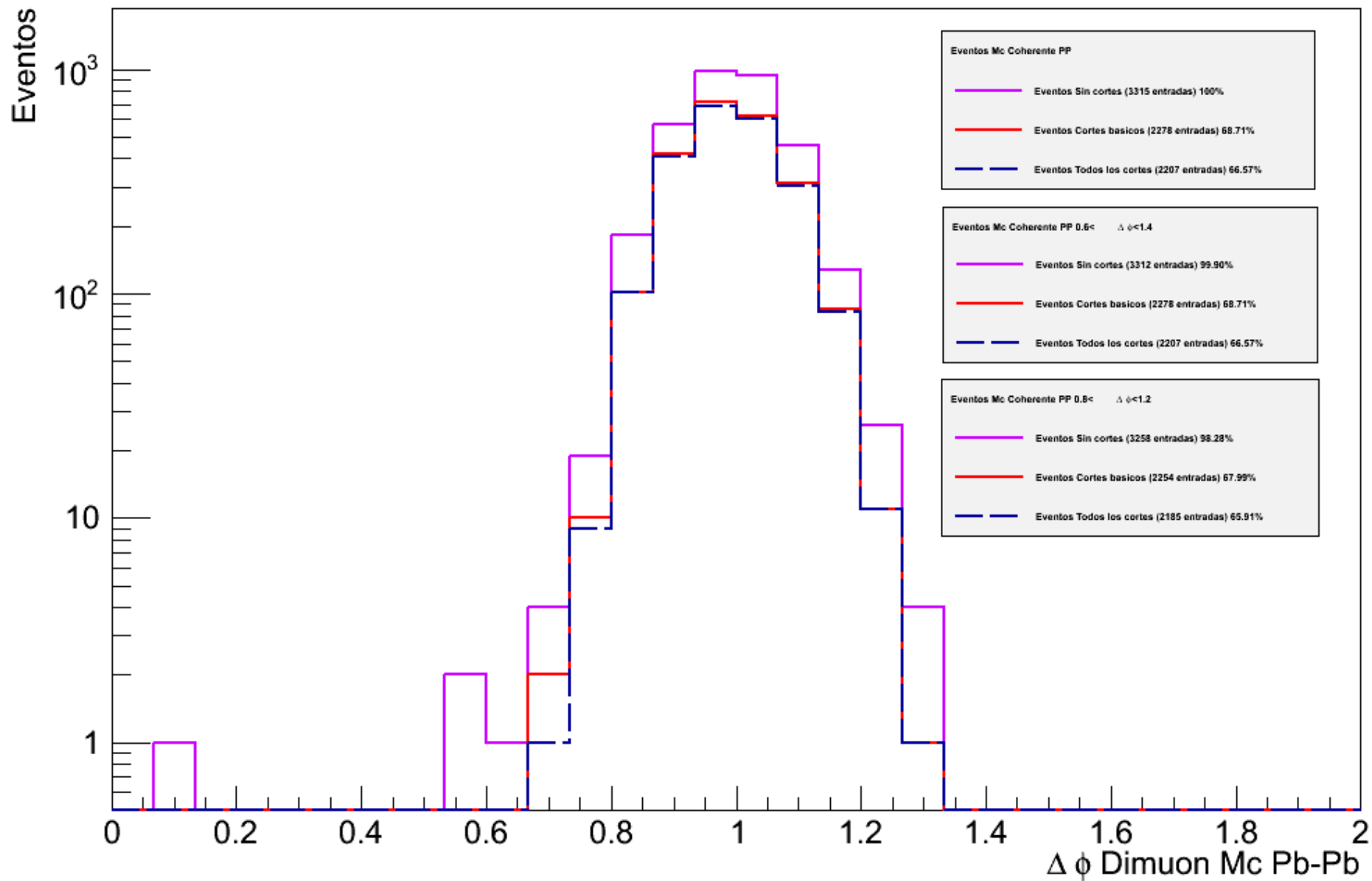


Delta Phi Coherente

$\Delta \phi$ Dimuon Data y Mc PP

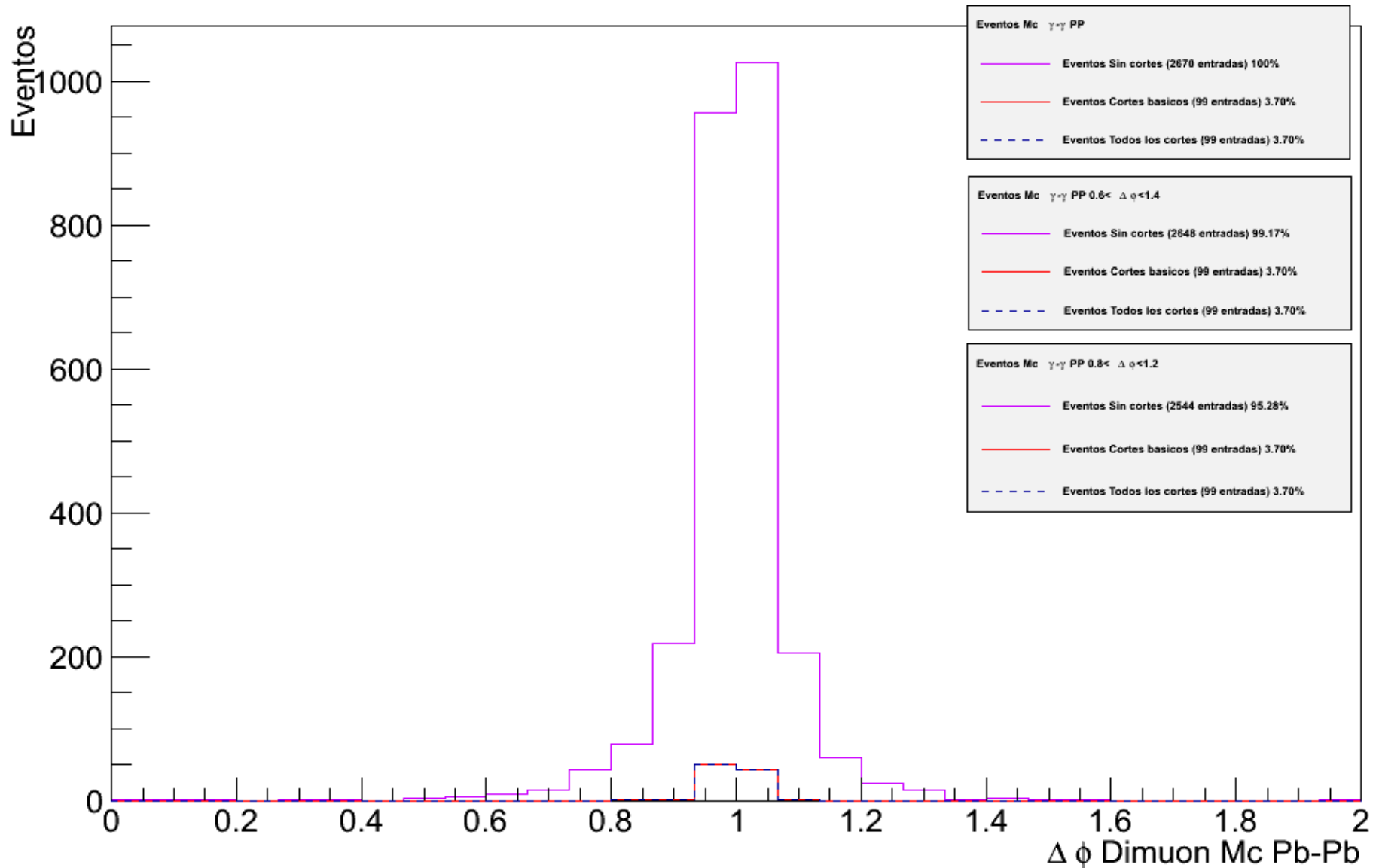


$\Delta \phi$ Dimuon Data y Mc PP

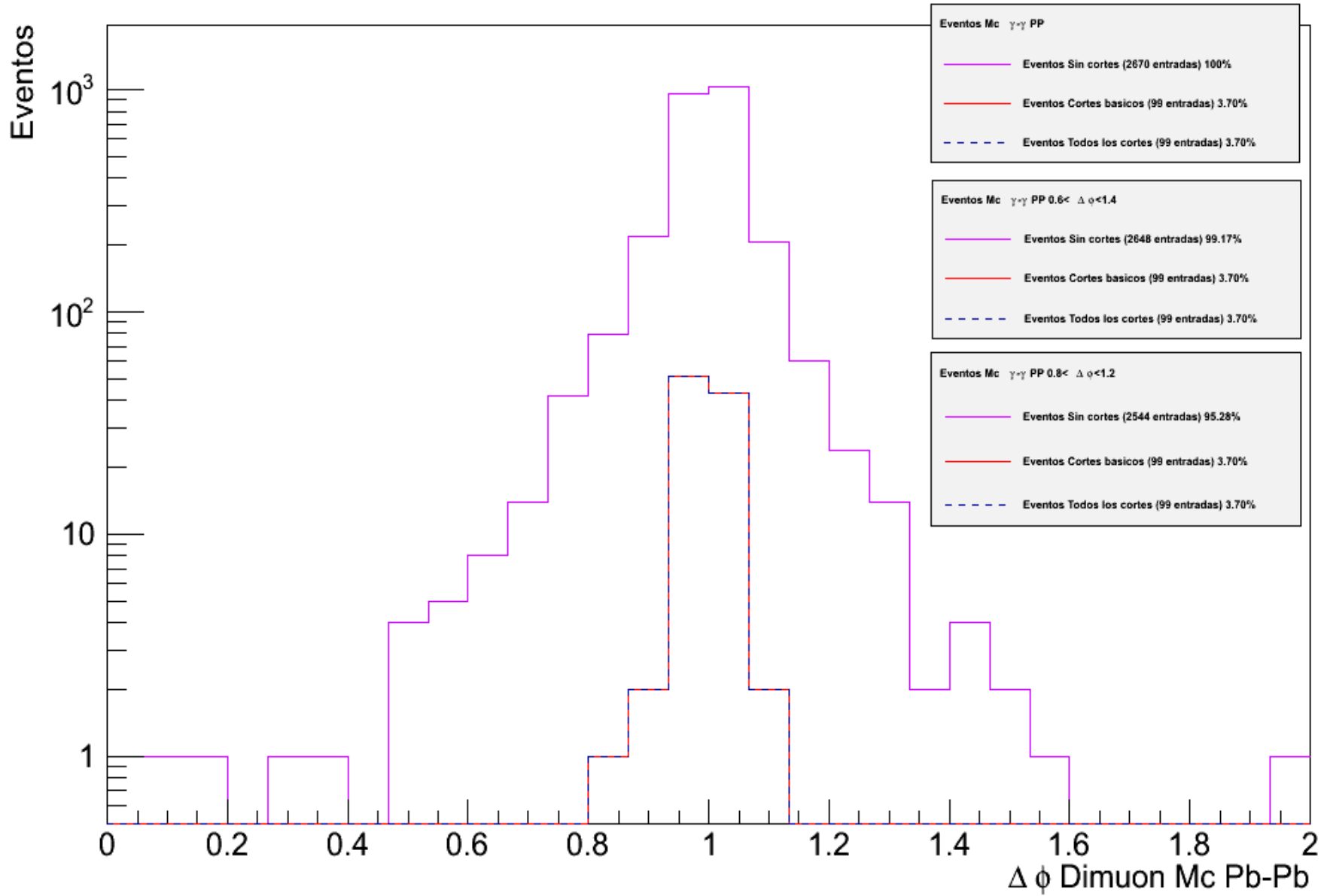


Delta Phi Gamma

$\Delta \phi$ Dimuon Data y Mc PP

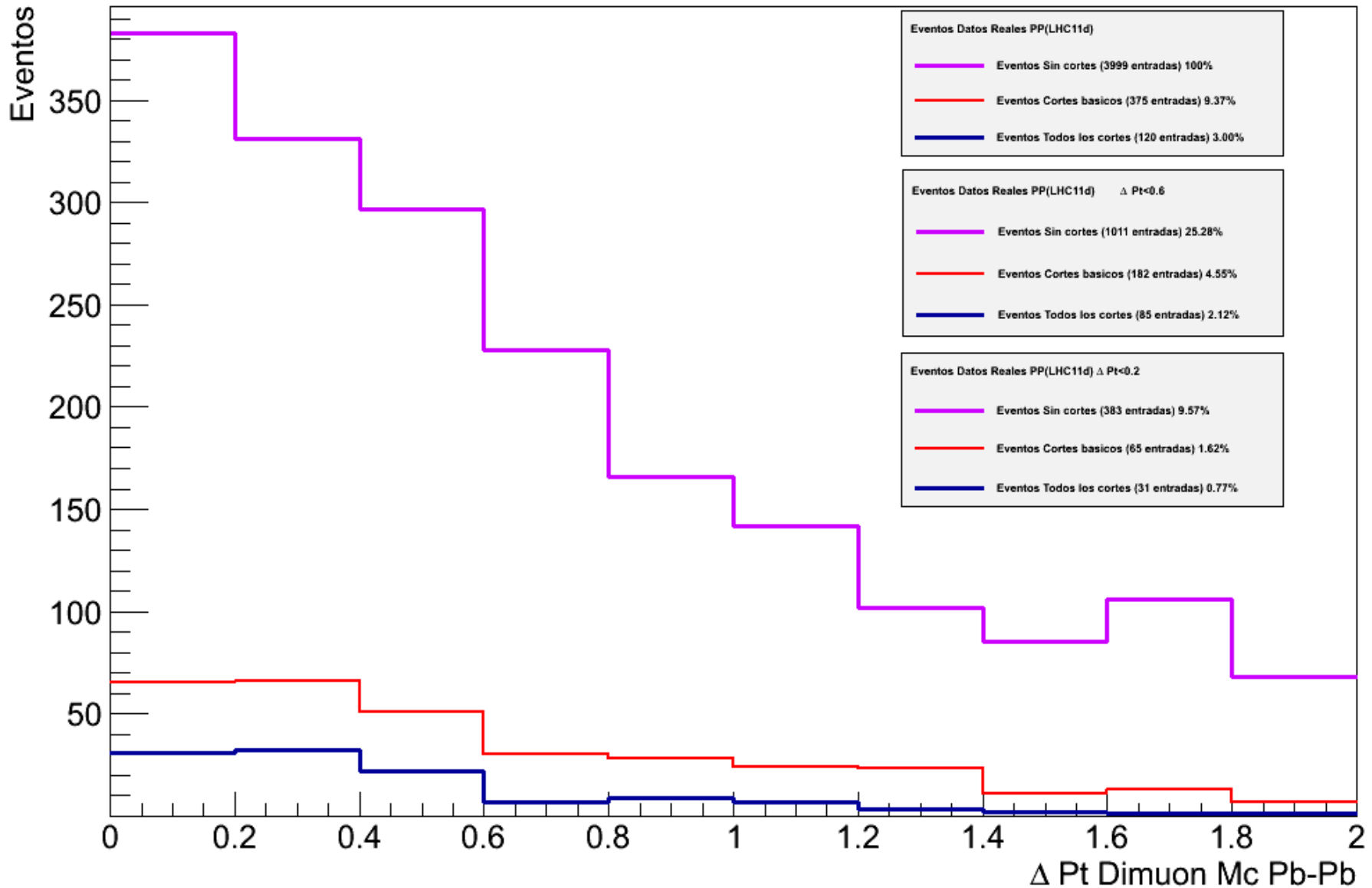


$\Delta \phi$ Dimuon Data y Mc PP

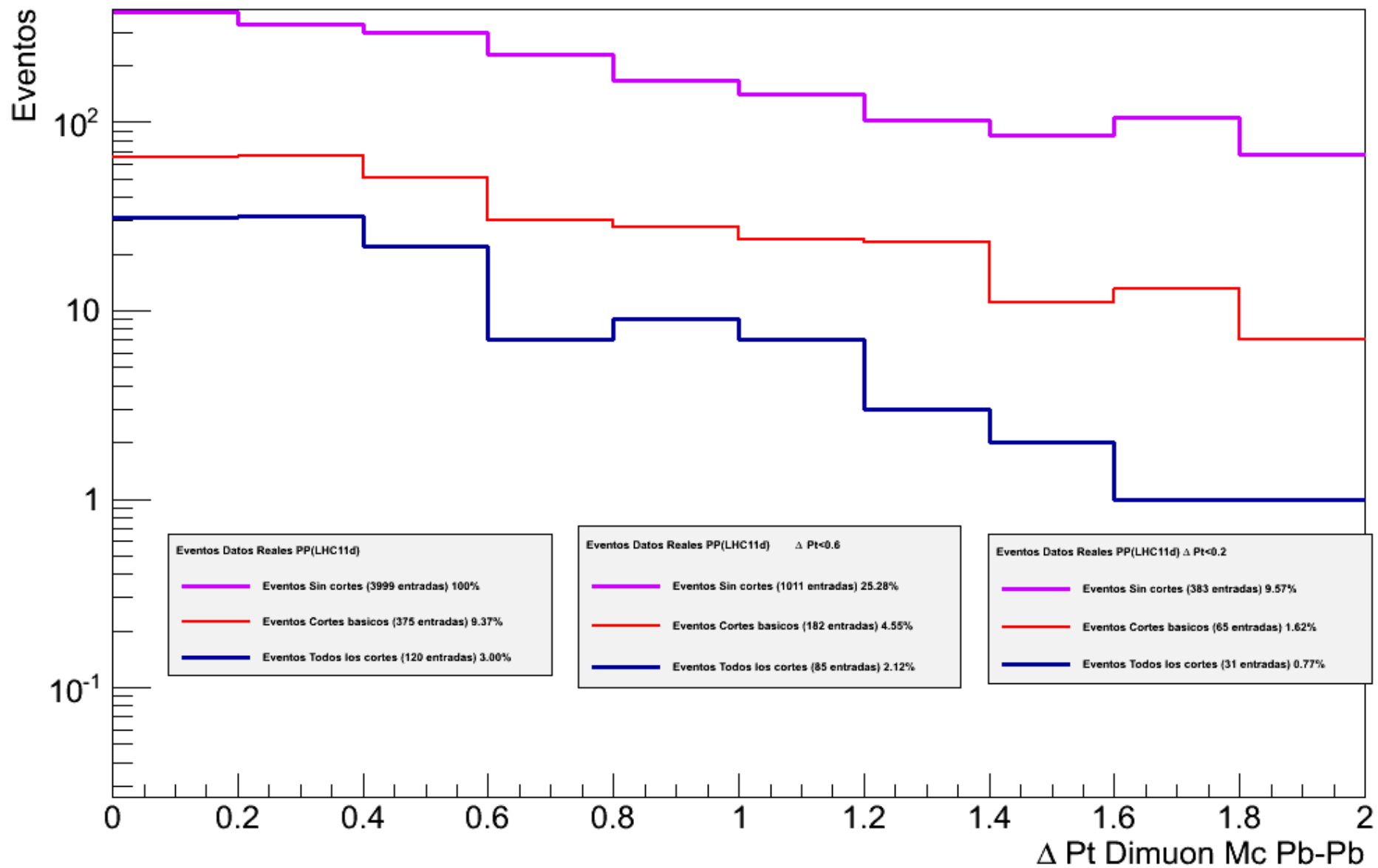


Delta Pt Real Data

ΔPt Dimuon Data y Mc PP



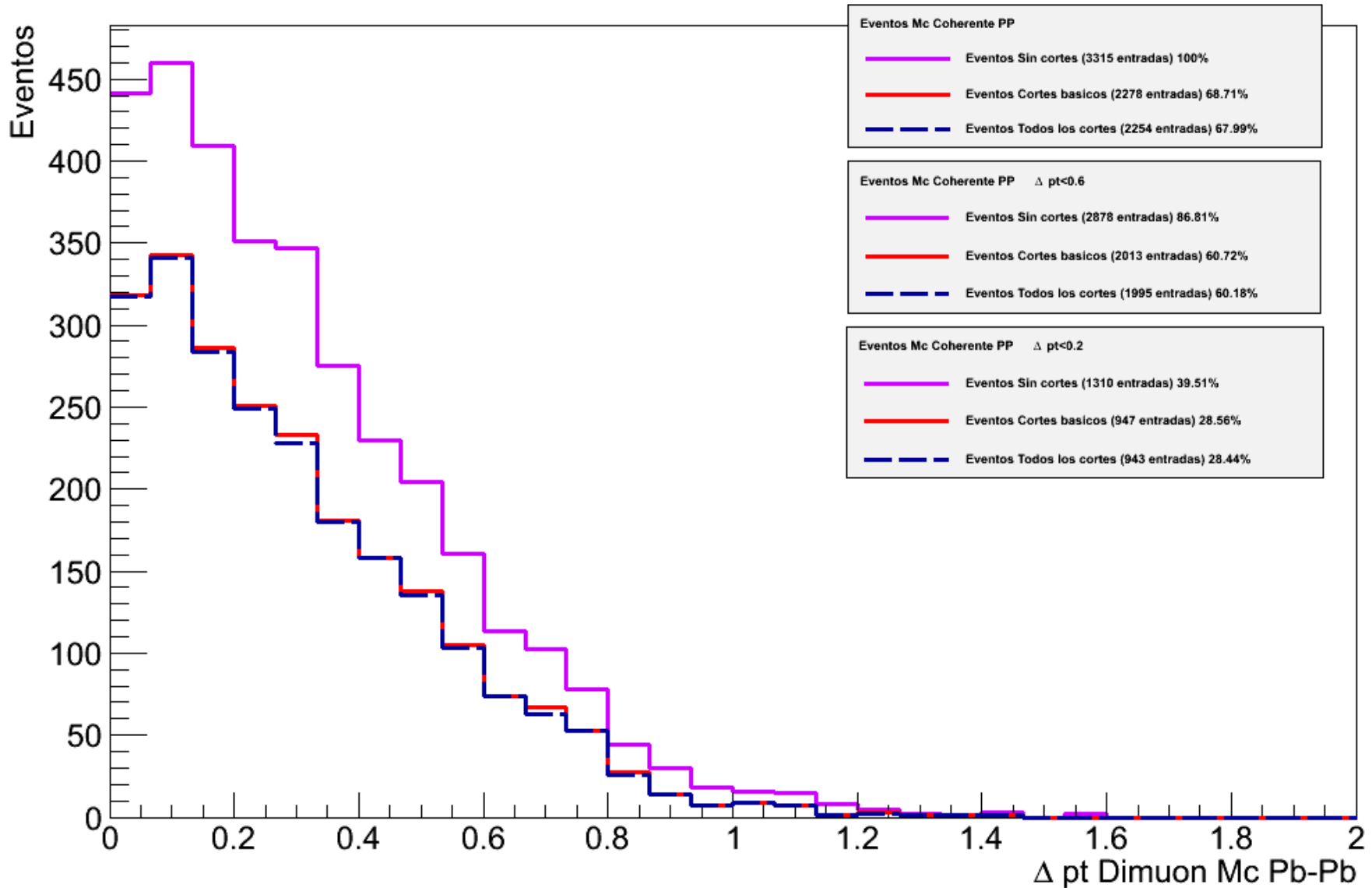
ΔPt Dimuon Data y Mc PP



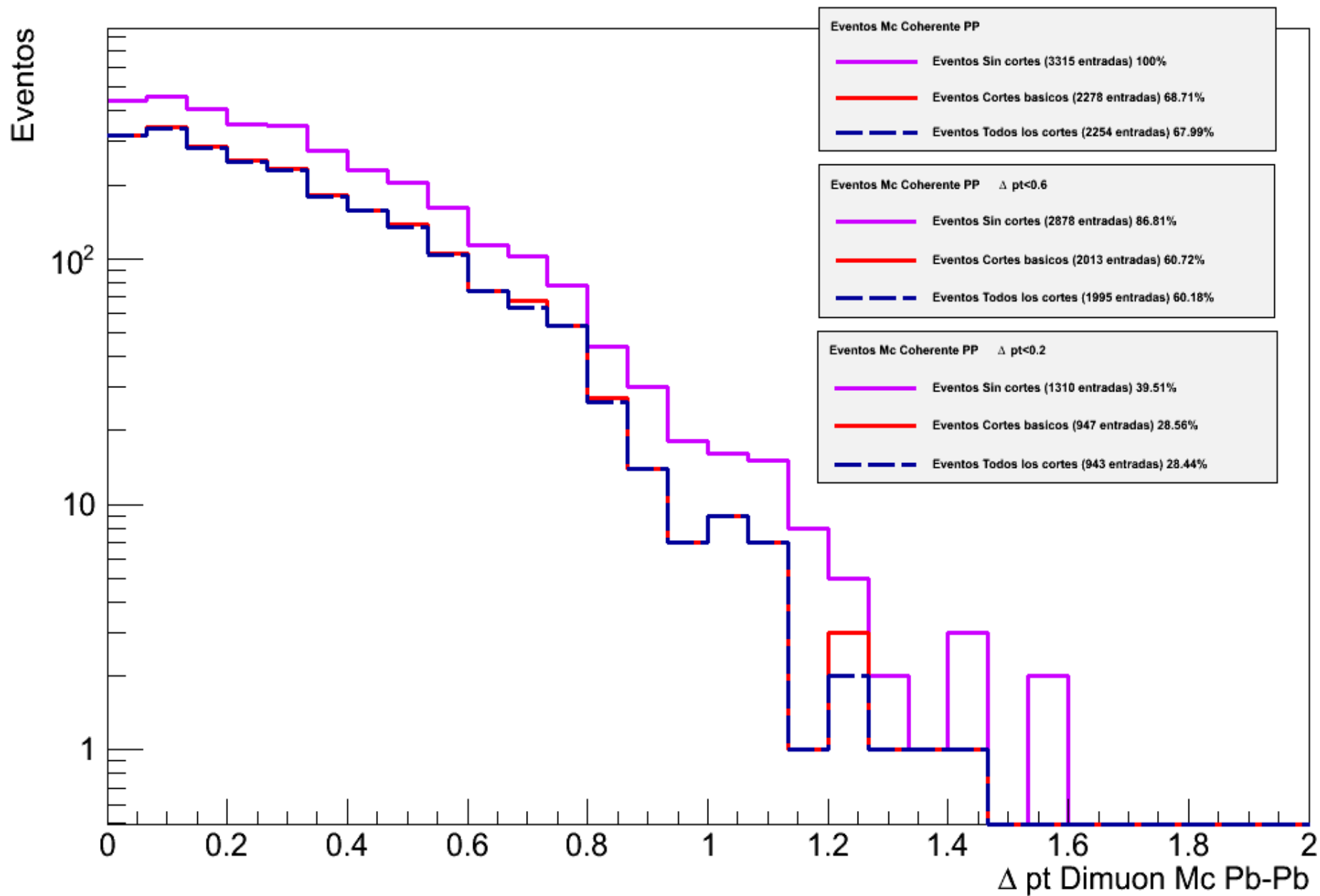
Delta Pt Coherente

Δ pt Dimuon Data y Mc PP

Grupos
Filas: 3374
Columnas: 2 (146)
MC: 1 (204)

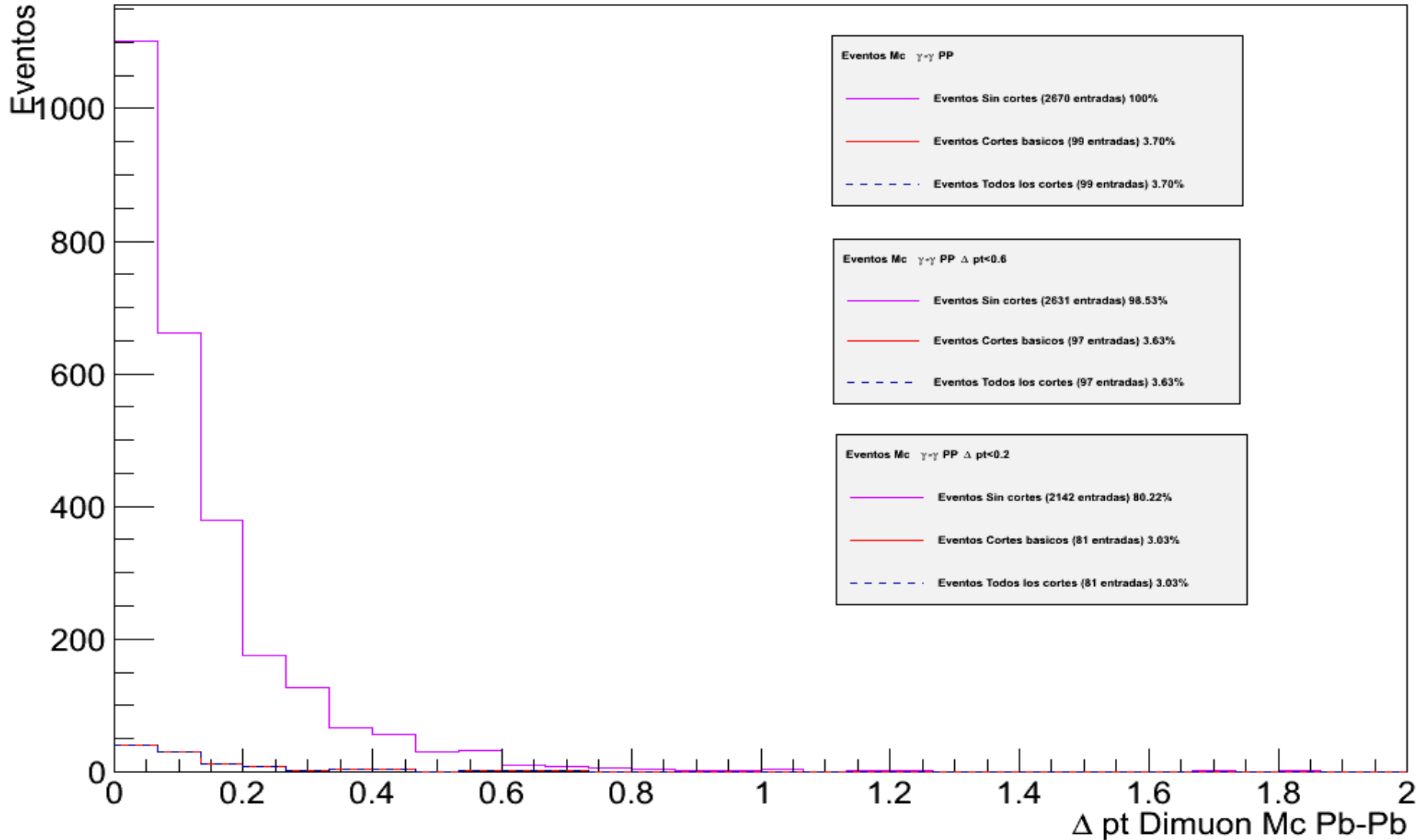


Δ pt Dimuon Data y Mc PP

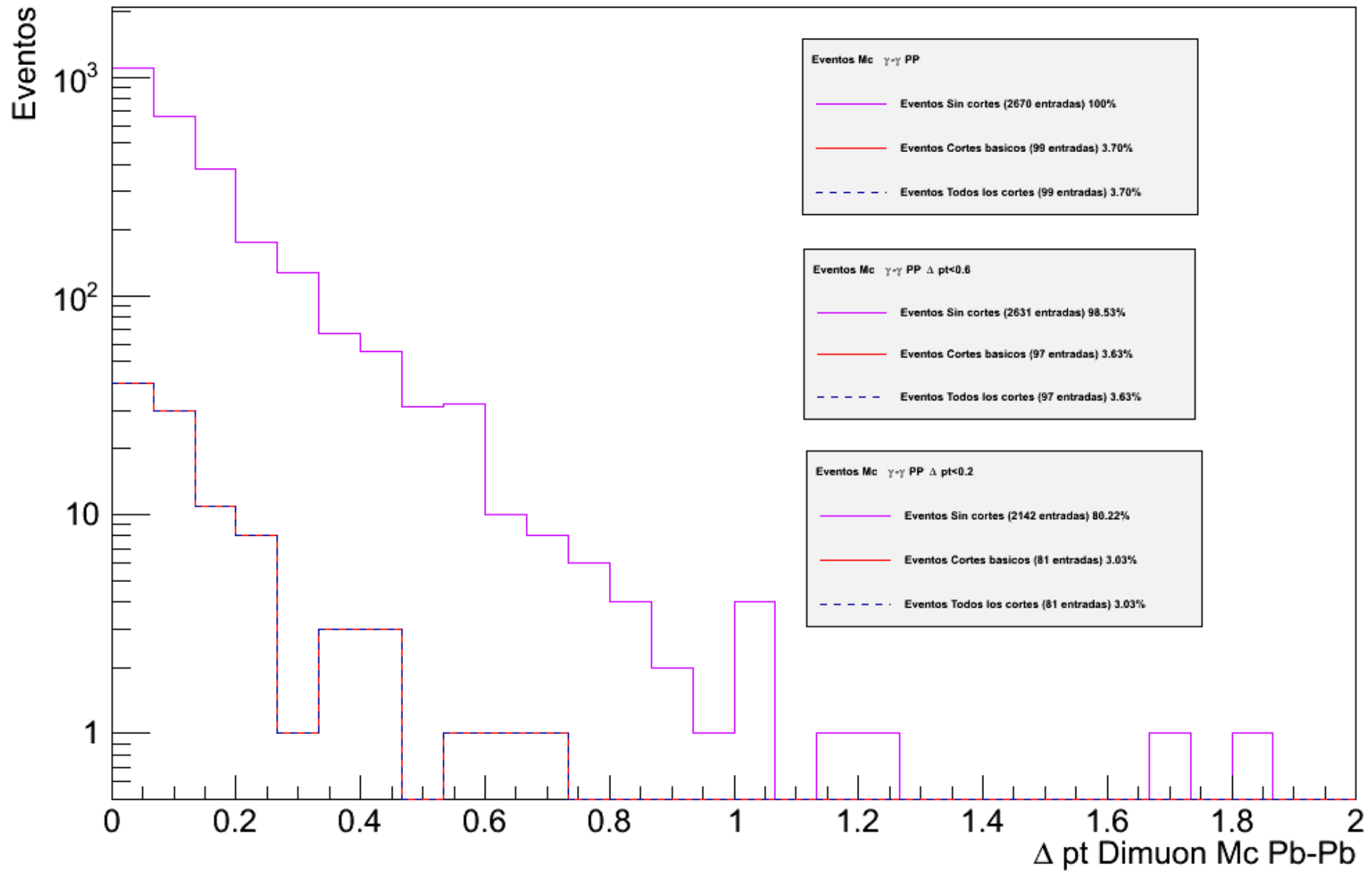


Delta Pt Gamma

Δ pt Dimuon Data y Mc PP

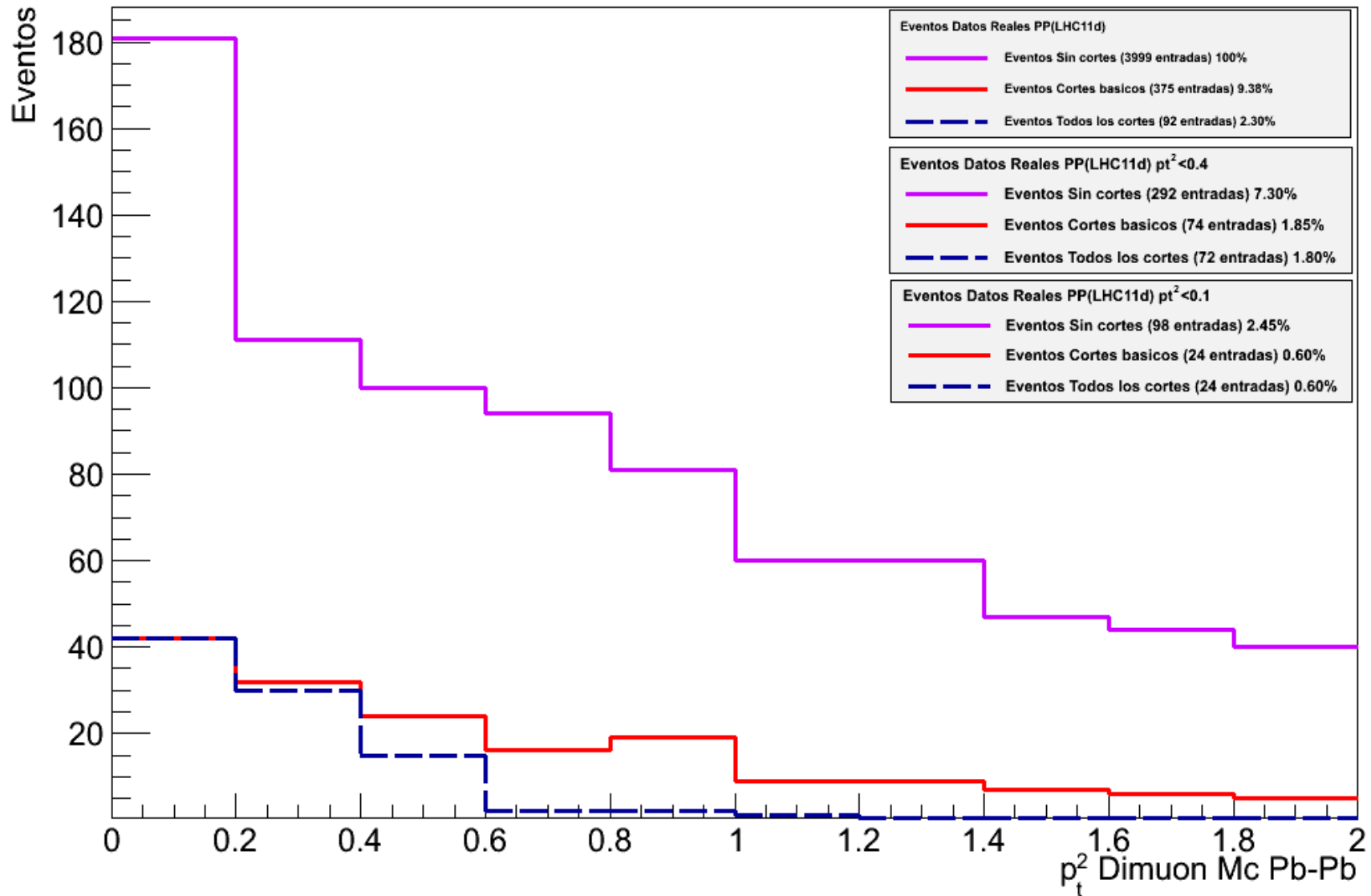


Δ pt Dimuon Data y Mc PP

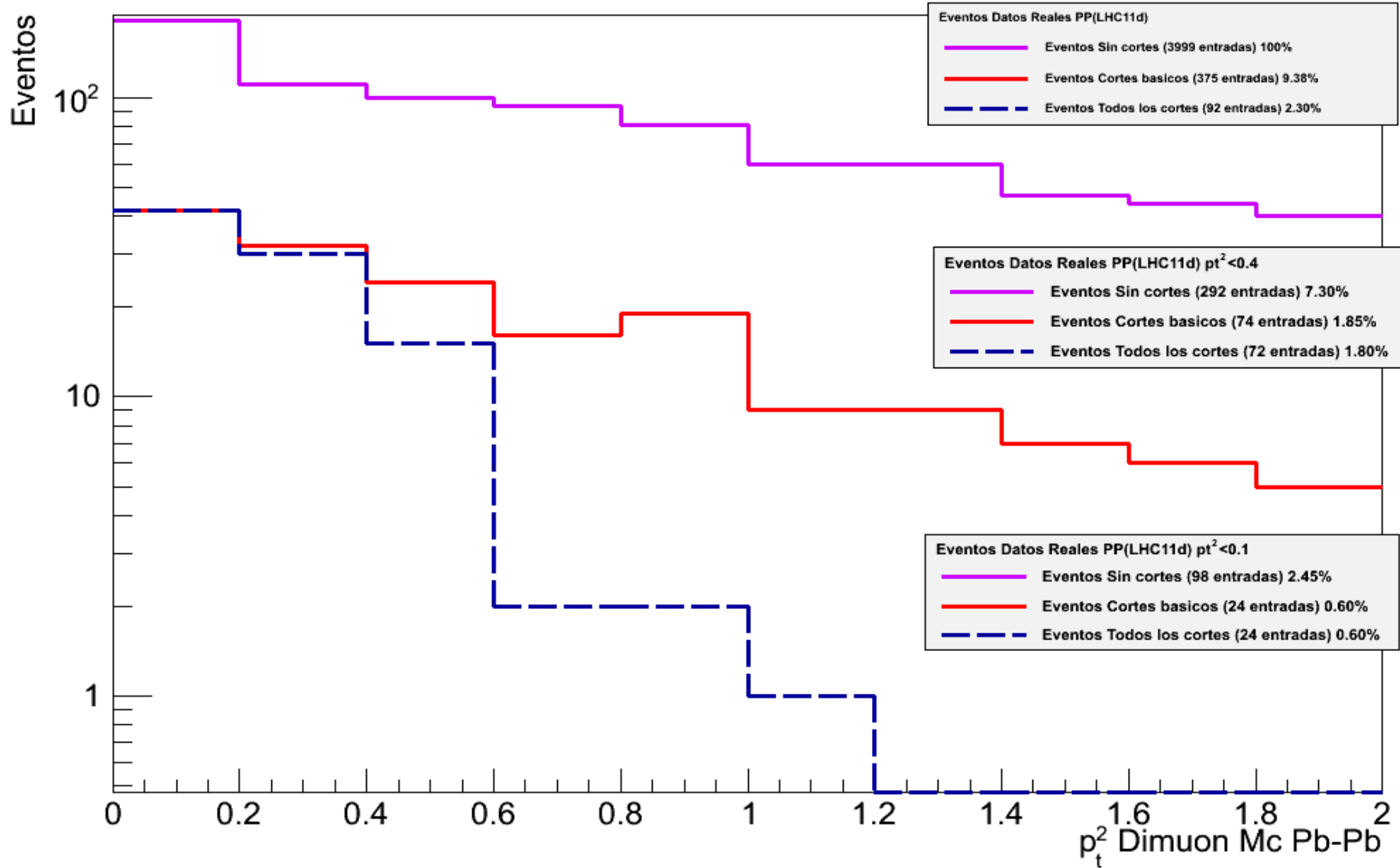


Pt cuadrado Real Data

p_t^2 Dimuon Data y Mc PP

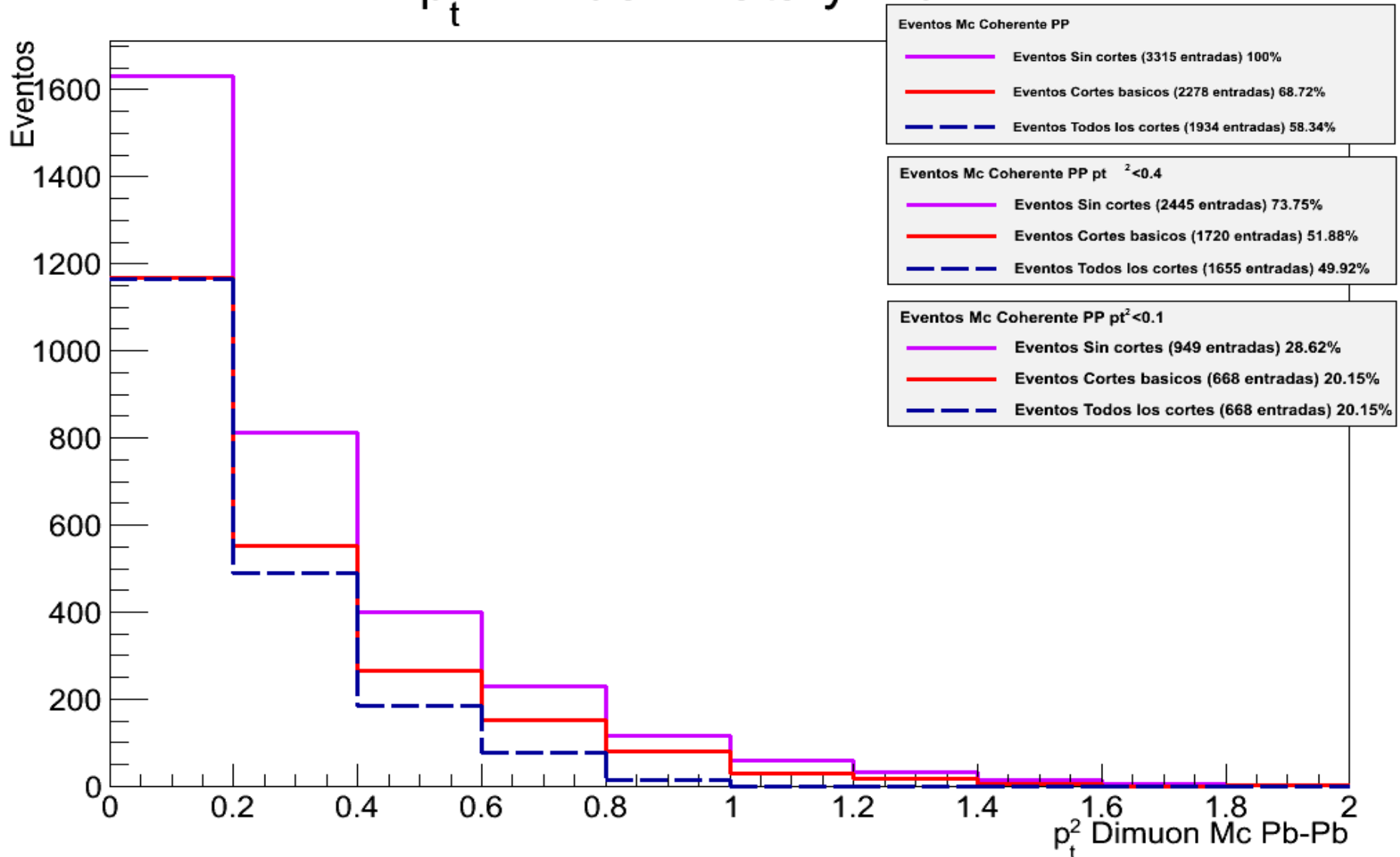


p_t^2 Dimuon Data y Mc PP

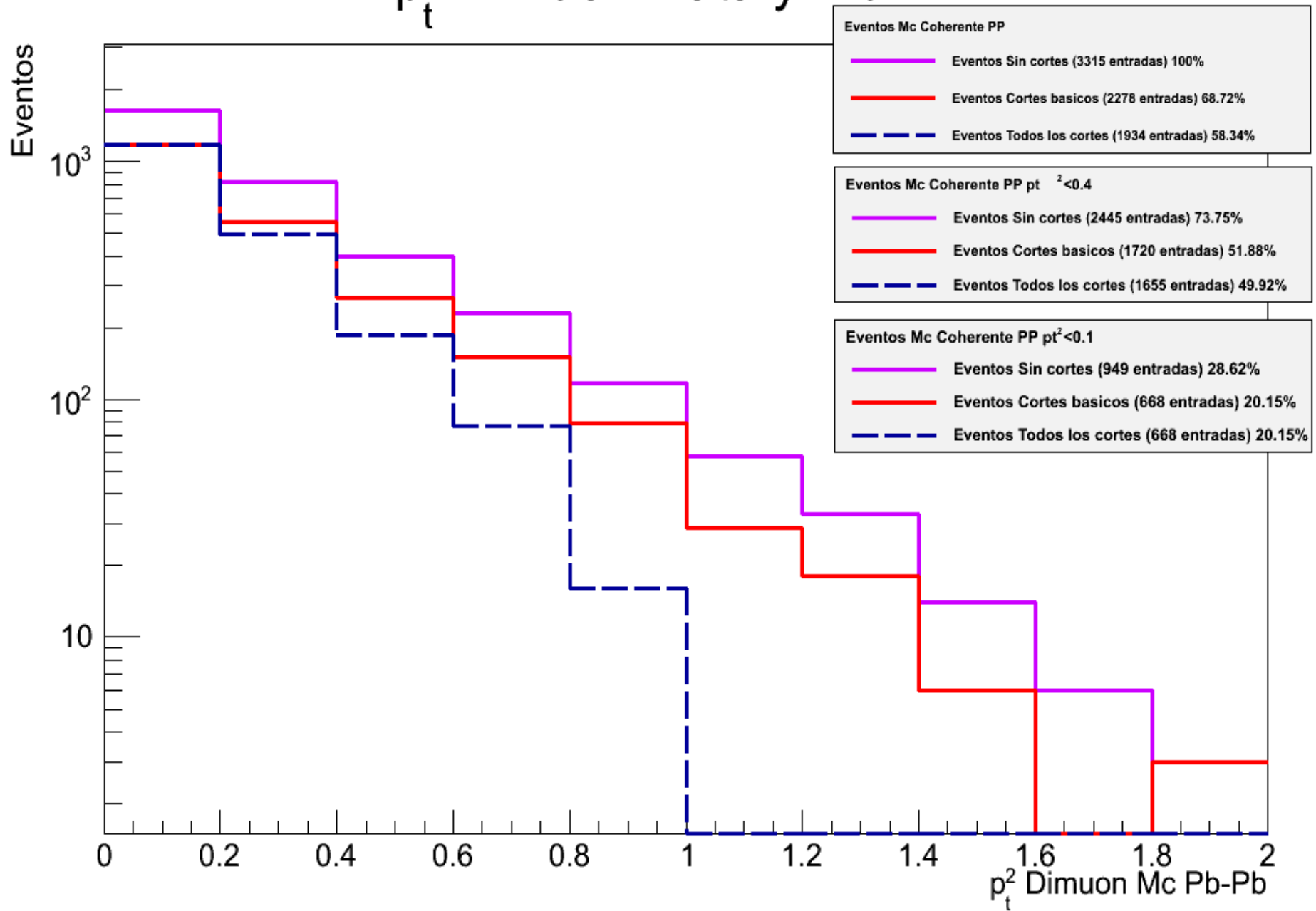


Pt cuadrado Coherente

p_t^2 Dimuon Data y Mc PP

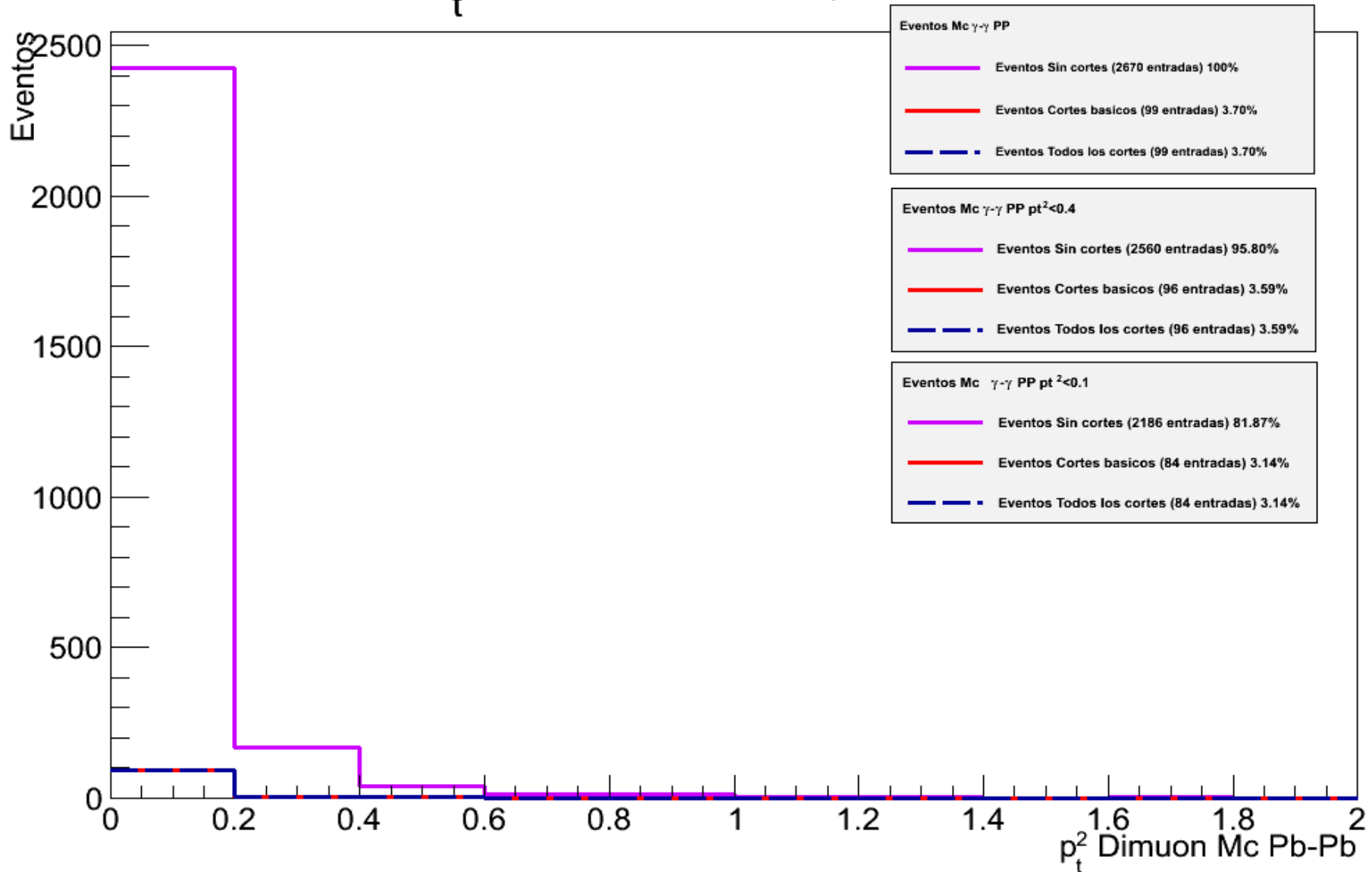


p_t^2 Dimuon Data y Mc PP

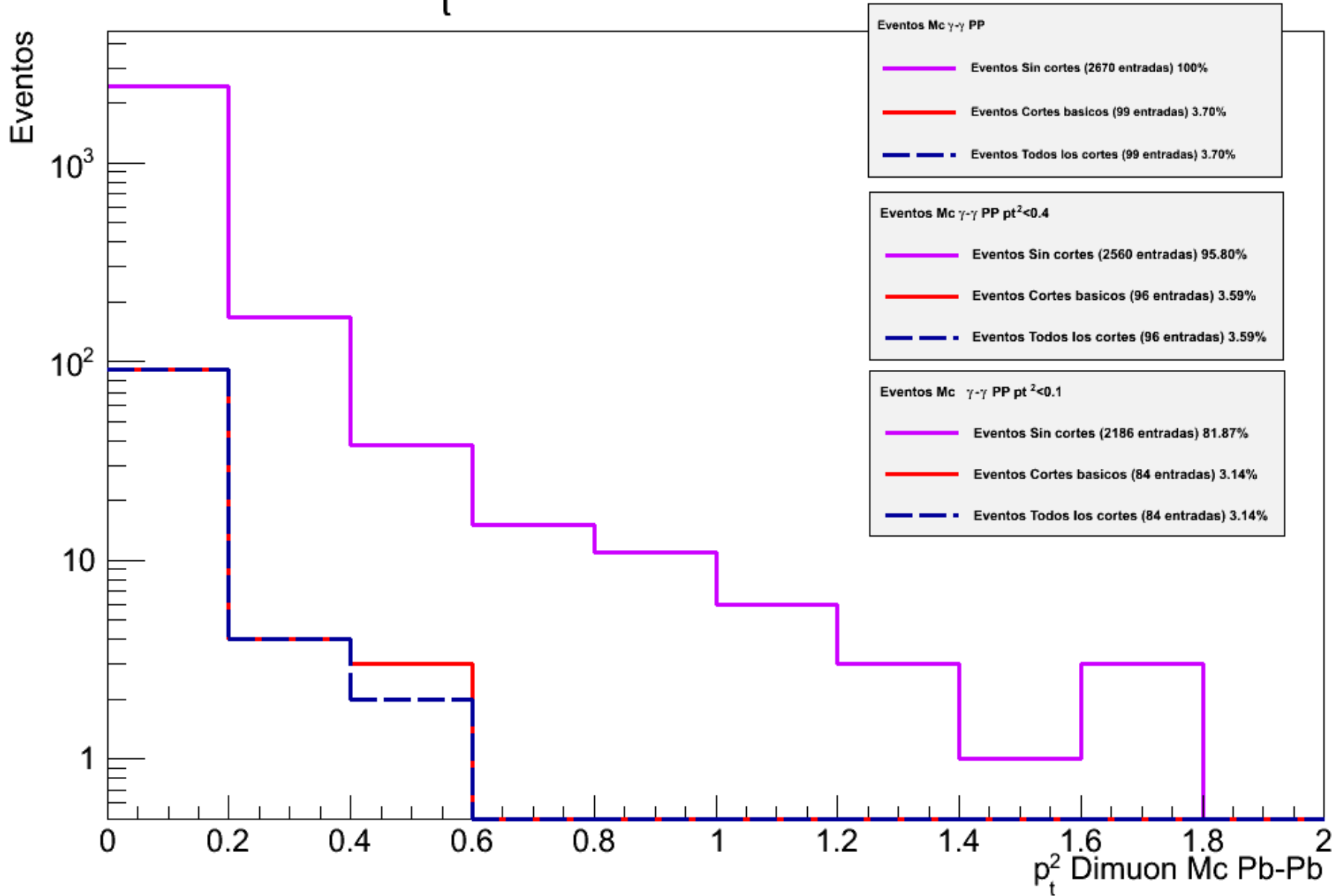


Pt cuadrado Gamma

p_t^2 Dimuon Data y Mc PP

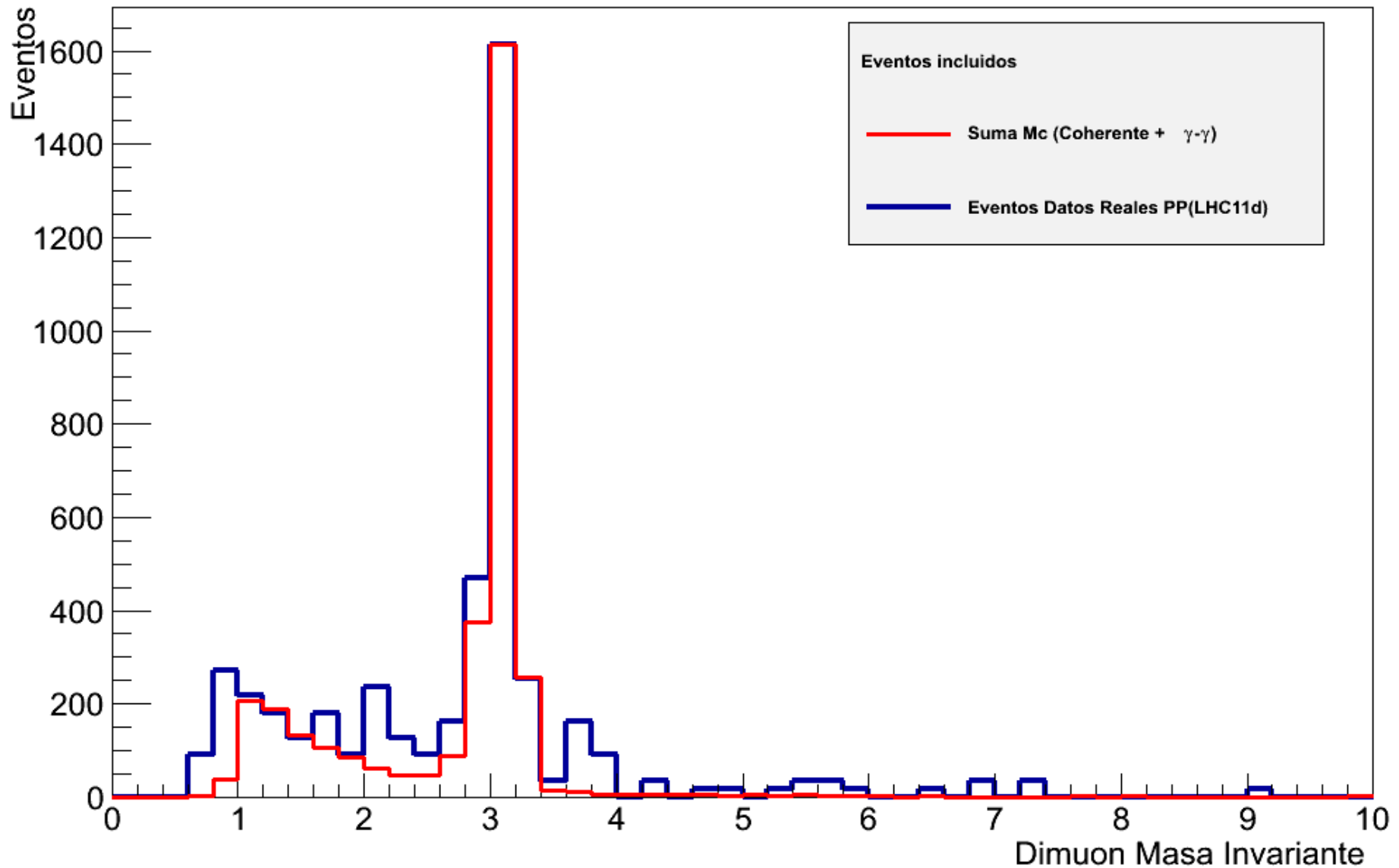


p_t^2 Dimuon Data y Mc PP



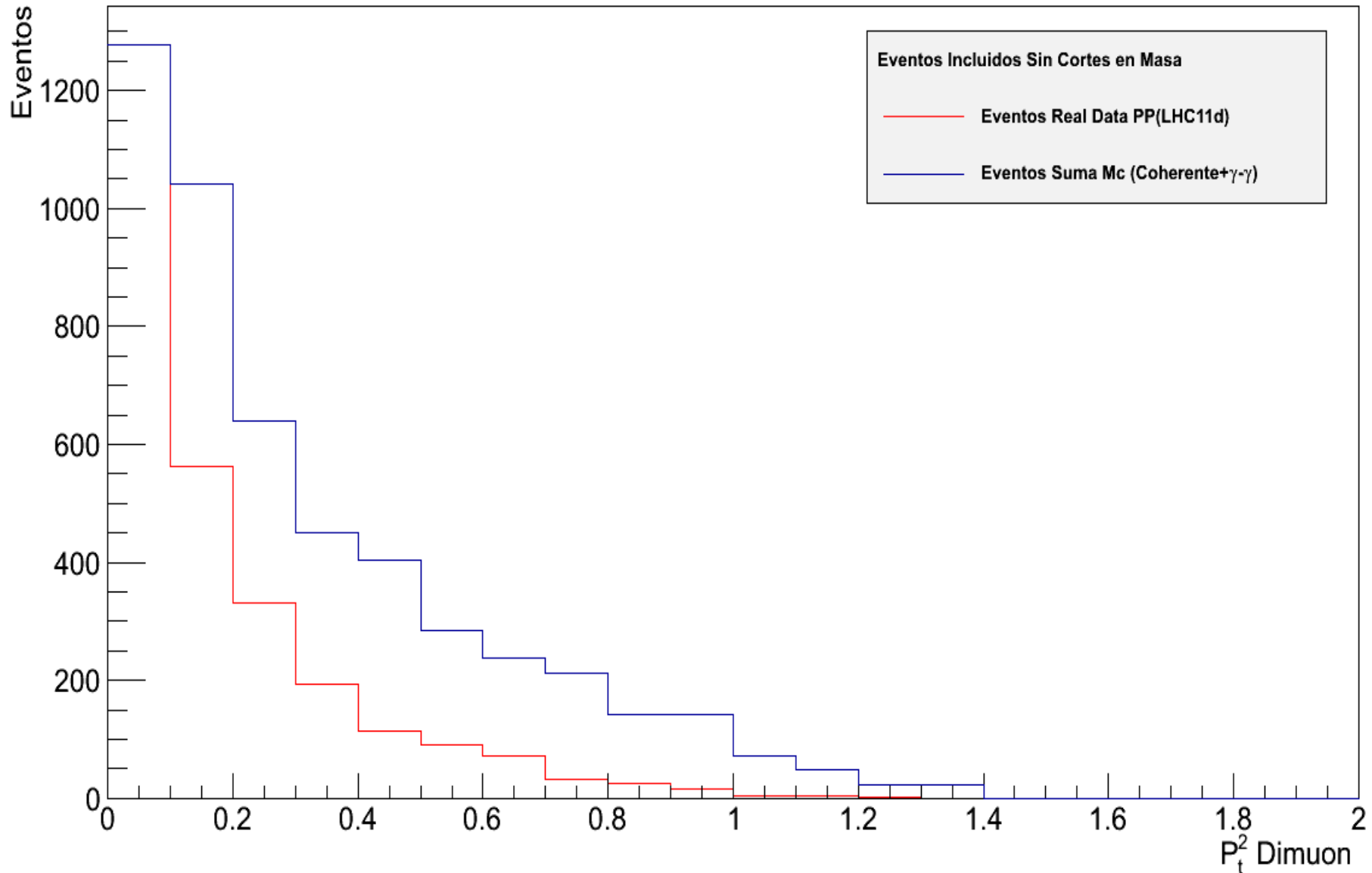
Espectro de Masa

Espectro de Masa

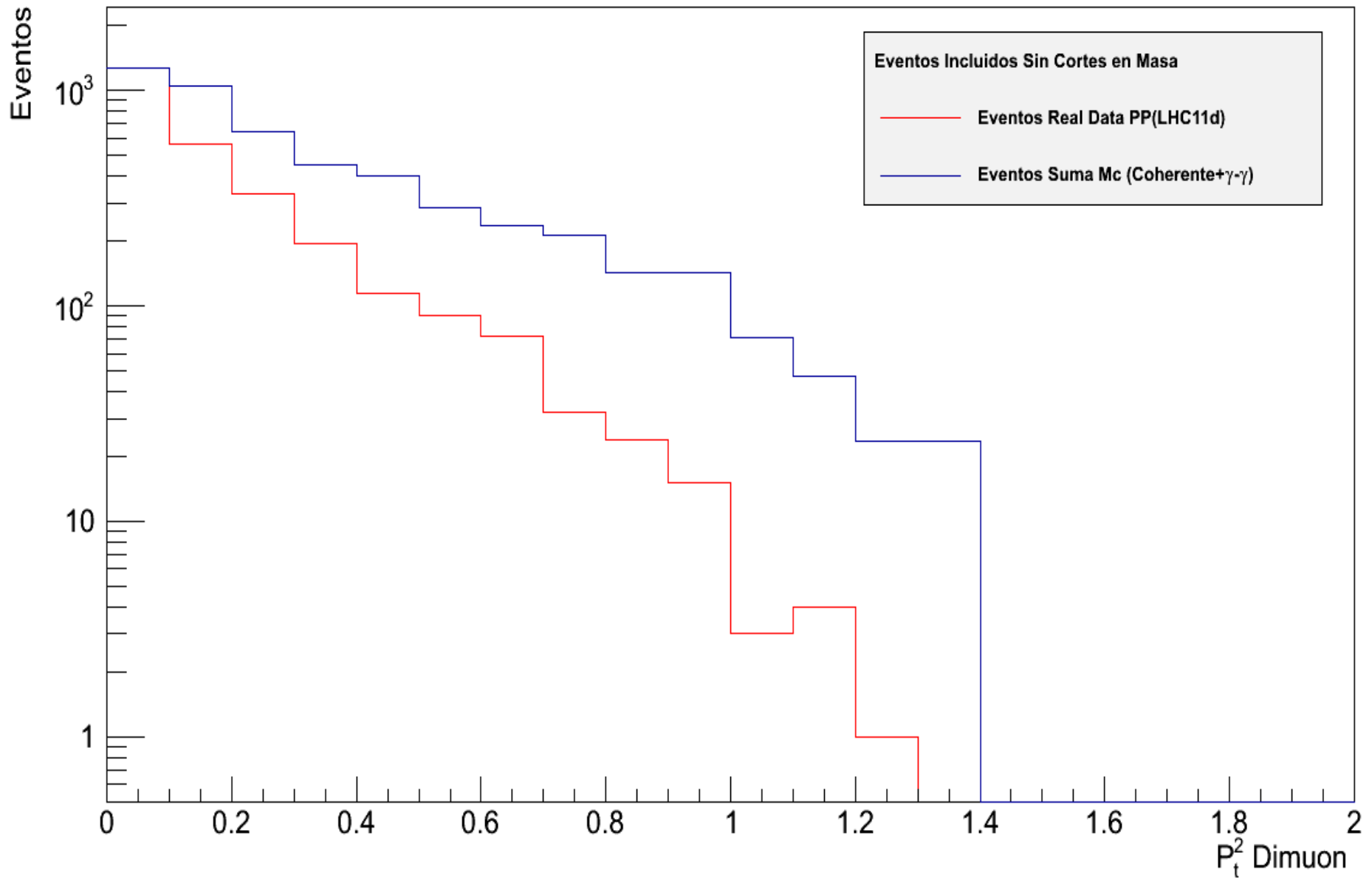


Pt cuadrado sin corte en masa J/psi

p_t^2 Dimuon Data y Mc PP

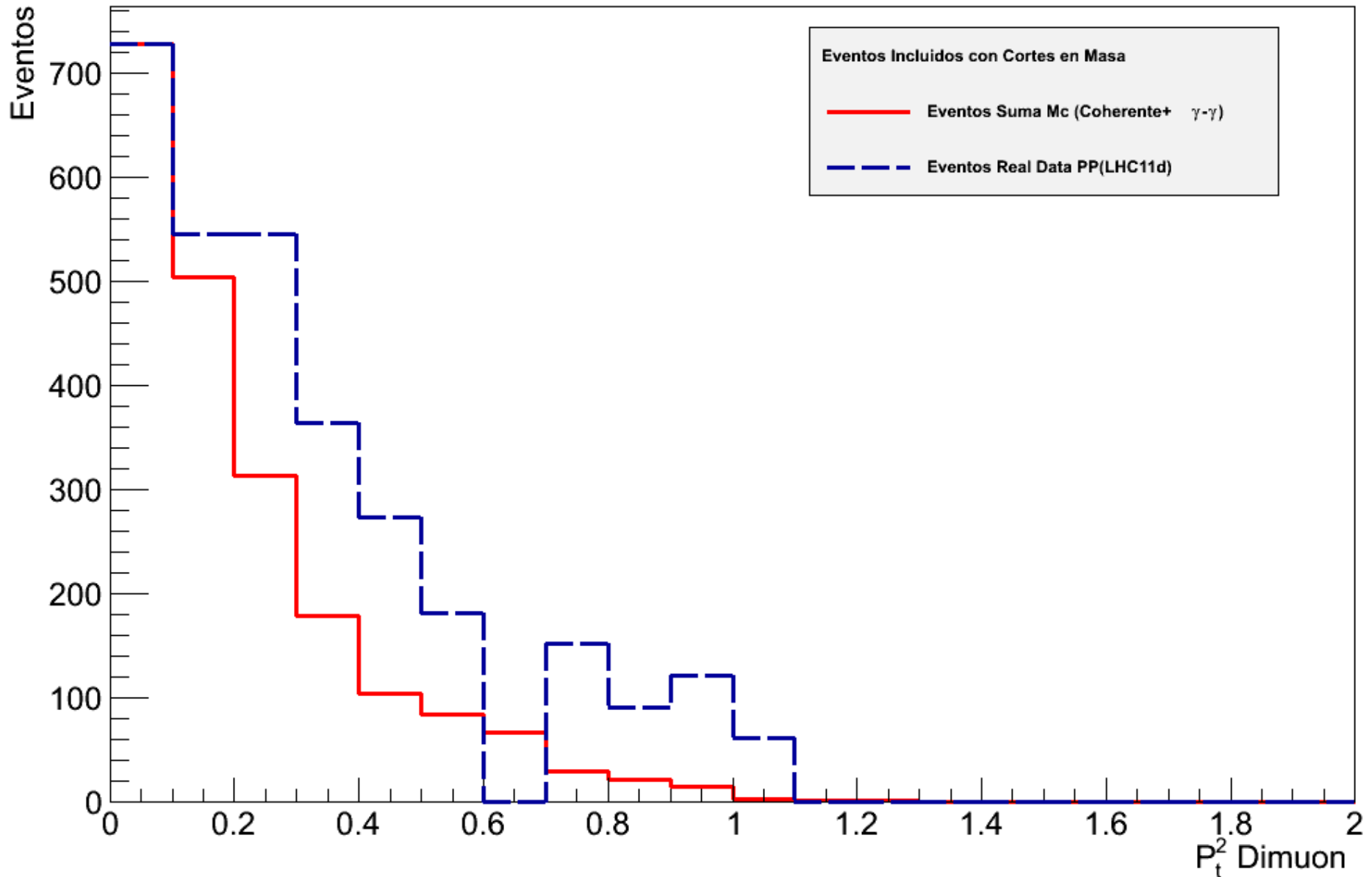


p_t^2 Dimuon Data y Mc PP

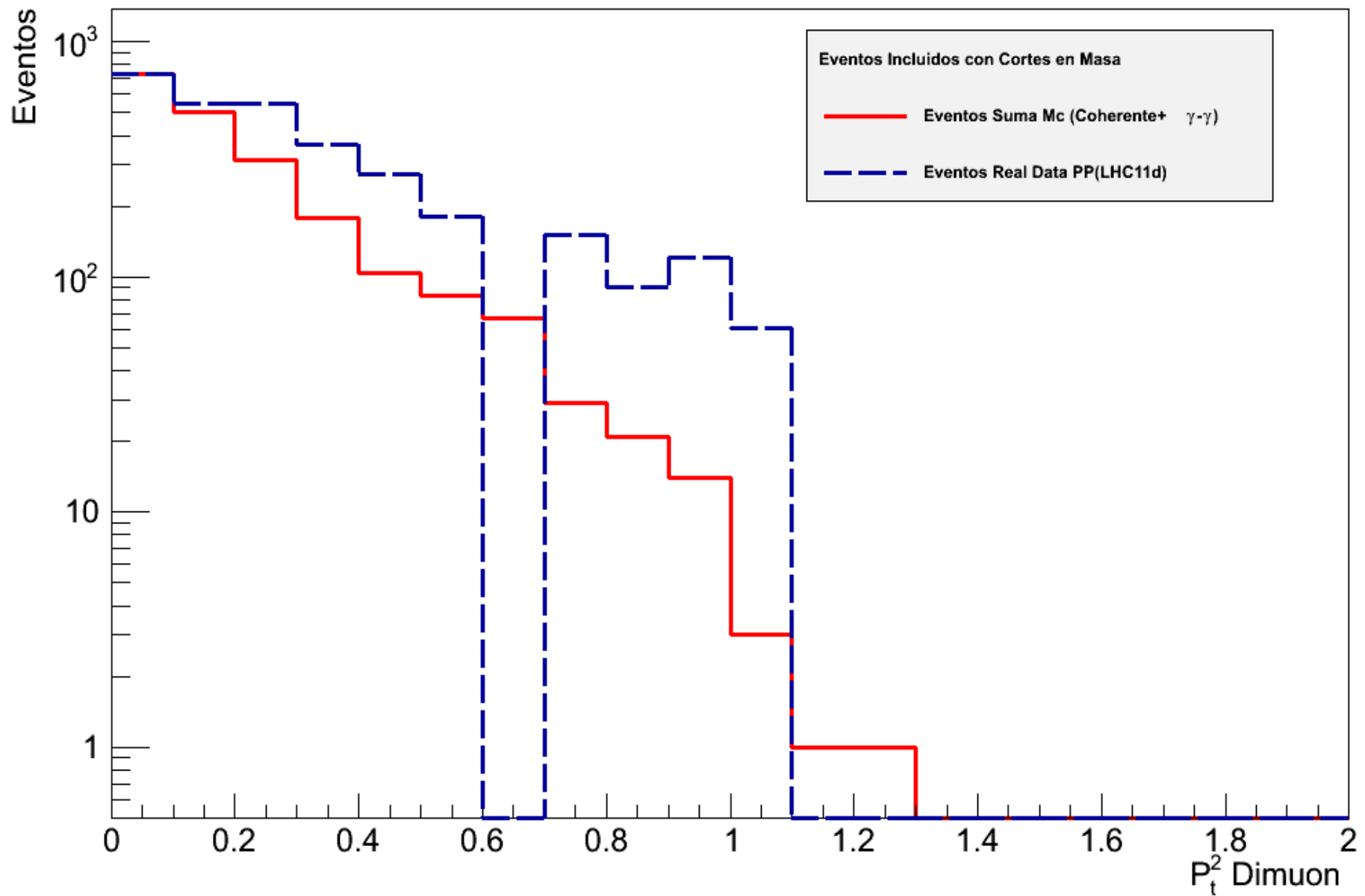


Pt cuadrado corte en masa J/psi

p_t^2 Dimuon Data y Mc PP

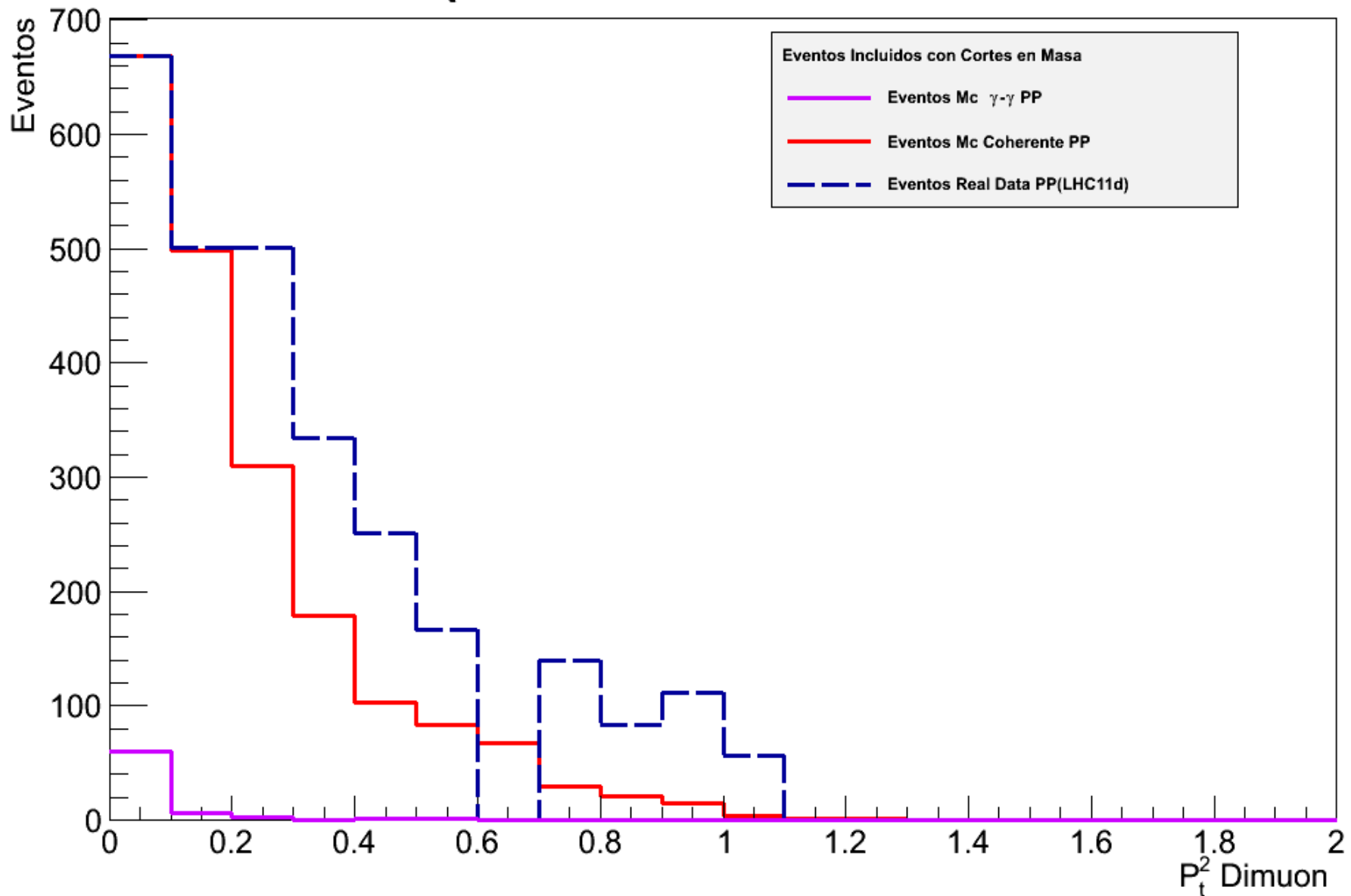


p_t^2 Dimuon Data y Mc PP

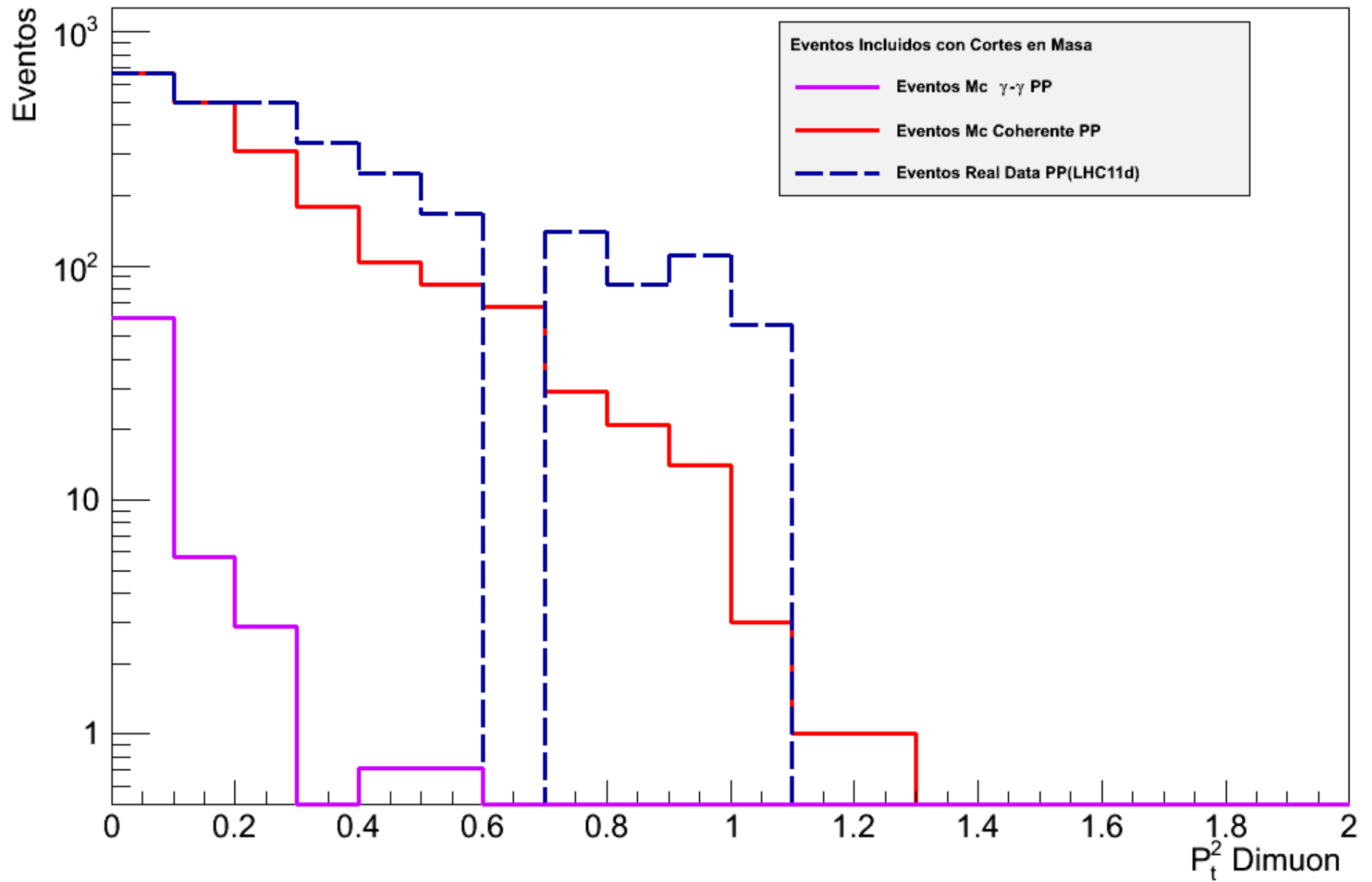


Contribución de gamma-gamma

p_t^2 Dimuon Data y Mc PP



p_t^2 Dimuon Data y Mc PP



Resumen

- Sin cortes en masa (zona del J/psi), el porcentaje de gamma-gamma es del 31%
- Con cortes en masa (zona del J/psi), el porcentaje de gamma-gamma es del 3.05%
- Se espera tener una diferencia apreciable en P_t cuadrado cuando no hay corte en masa
- Se espera tener similitud cuando hay corte en masa, ya que gamma-gamma es despreciable.